

# THE EXPRESSION OF APOPTOSIS CONTROLLING PROTEINS AND DNA INDEX OF BREAST CANCER PATIENTS CELLS

**E. I. Glukhova, M. I. Lukashina, V. N. Bogatyrev, A. Yu. Baryshnikov**  
**Russian N.N. Blokhin memorial cancer research center RAMS**

## ABSTRACT

The permanent consistency of cell cycle and death is provided by cell apoptosis. The regulation of apoptosis process is controlled by such genes as p53, bcl-2, bax, etc. Changes of DNA content in living cells leads to increasing of genetic destabilization. So the investigation of correlation of expression of controlling apoptosis genes p53, bcl-2, bax, CD95 and ploidy of tumor cells were the goal of the current study. We have analyzed 128 tissue samples of breast cancer patients. For the assessment of expression of p53, bcl-2, bax, CD95 the immunofluorescence reaction and immunoferment analysis (ABC-method) were used; the ploidy of cells were measured by flow cytometry. It was showed that the expression of bax is increased and the expression of CD95 is decreased accordingly to the stage of disease development and malignancy of the tumor ( $p=0.05$  and  $p=0.006$ , respectively). The expression of p53 has grown accordingly to the stage of disease development but there was not significant statistic value in results. The analysis of marker's expression in dependence on ploidy has demonstrated the same tendency as in the whole group. So, aneuploidy, increasing of bax and p53 expression, decreasing of CD95 expression can be assessed as indexes of malignant aggression measurement.

## Экспрессия белков, контролирующих апоптоз, и индекс ДНК опухолевых клеток рака молочной железы

**Е.И.Глухова, М.И.Лукашина, В.Н.Богатырев, А.Ю.Барышников**  
**Российский онкологический научный центр им.Н.Н.Блохина РАМН**

## РЕЗЮМЕ

Сохранение клеточного баланса в организме поддерживается засчет апоптоза. Апоптоз регулируют такие гены, как p53, bcl-2, bax и др. Изменение содержания ДНК в клетках ведет к нарастанию генетической нестабильности. Поэтому изучение взаимосвязи экспрессии p53, bcl-2, bax и CD95, контролирующих апоптоз, и пloidности опухолевых клеток являлось целью данной работы. Было исследовано 128 образцов ткани, полученных от больных раком молочной железы. Для определения экспрессии p53, bcl-2, bax и CD95 использовали реакцию иммунофлуоресценции и иммуноферментный анализ (ABC-метод), пloidность оценивали методом проточной цитофлуориметрии. Полученные результаты свидетельствуют, что экспрессия bax нарастает, а CD95 – снижается в зависимости от стадии за-

болевания и степени злокачественности ( $p=0.05$  and  $p=0.006$ , соответственно). Экспрессия p53 нарастила в зависимости от стадии заболевания, но статистической значимости достигнуто не было. Анализ экспрессии маркеров в зависимости от пloidности клеток показал такую же тенденцию, что и в целом по группе. По результатам исследования можно сделать вывод, что анеуплоидия, увеличение экспрессии bax и p53, снижение экспрессии CD95 являются показателями агрессивности опухолевого процесса.

## Введение

В онкологической практике к группе прогностических факторов рака молочной железы (РМЖ) относят такие клинические признаки, как возраст больной, менструальный статус, размер первичного очага, гис-

тологический тип опухоли, стадию заболевания. Однако, как показывает анализ материалов по раку молочной железы, только клинические признаки не дают четкого ответа на вопросы, связанные с прогнозом [3, 10]. Уровень рецепторов стероидных гормонов – эстрогенов, прогестерона, андрогенов и глюокортикоидов также влияет на прогноз и чувствительность РМЖ к гормональному лечению [17]. И тем не менее, клинический опыт свидетельствует о том, что даже в однородных по этим параметрам группах больных, течение опухолевого процесса существенно различается, и поиск дополнительных критериев, отражающих агрессивность опухоли, ее биологические особенности, попрежнему актуален [1, 4]. В последние годы поиск факторов прогноза сосредоточен на клеточном и субклеточном (молекулярном) уровне. Большое внимание в последние несколько лет уделяют изучению функционирования антионкогенов и онкогенов, таких как bcl-2, bax, p53, c-erbB-2, c-myc, int-2 [2, 21]. Особое место принадлежит P53, изменения в котором, как предполагают, запускают развитие опухоли [7, 16].

Апоптоз играет важную роль в поддержании гомеостаза, сохранении клеточного баланса, при удалении клеток с генетическими повреждениями, росте и терминальной дифференцировке. До конца не ясен механизм запуска и исполнения программированной клеточной смерти, хотя имеются доказательства, что апоптоз регулируют гены p53, bcl-2, bax и другие. Обнаружено также, что процесс ДНК фрагментации ассоциирован с ненормальной экспрессией таких генов, как Fas, ICE (интерлейкин 1 бетта-конвергируемый энзим), p53 и c-myc или bcl-2 [8, 9, 26].

Одним из следствий нарушения прохождения фаз клеточного цикла в опухолевых клетках является изменение содержания ДНК (анауплоидия, полиплоидия), что ведет к нарастанию генетической гетерогенности клеточной популяции. Оценка распределения опухолевых клеток новообразований человека по содержанию ДНК является дополнительным маркером злокачественности карцином человека [18, 19].

Некоторые авторы в своих работах подчеркивают значимость изучения корреляции экспрессии P53, Bcl-2 и пloidности опухолевых клеток в оценке злокачественного потенциала новообразований [13, 24, 25].

Таблица 1. Характеристика антител, использованных в работе на цитопрепаратах

Маркер	Фирма	Антитела	Свойства			Приимущества
□	M□ □□	еа□ р□ ек□ еа□	аа□ аа□	□	□□□ □□□	□ □
□□	□□	край□ еа□	аа□	□	□□□ □□□	□ □
□□□□	M□ □	еа□ р□ ерал□ еа□	р□ рек□ аа□	□□□□ □□□□		
□□□	M□ □□	еа□ р□ III□ еа□	р□	□ □□□□□	□ □□□□□	
□□	M□ □□□	р□а□ ре□ е□ а□	е□ раа□ аа□	□□□□ □□□□	□ □Me□ екр□	

### Реакция иммунофлуоресценции

Для определения экспрессии поверхностных маркеров, таких как ICO160 (CD95), цитопрепараты обрабатывали 1% бычьим сывороточным альбумином (BSA) в течение 15-20 минут. Удаляли р-р BSA и не промывая, наносили первичные МКАТ, инкубировали во влажной камере 1 час при комнатной температуре. После инкубации отмывали дважды в PBS (5-10 минут) и наносили F(ab)2-фрагменты антител против мышинных иммуноглобулинов, конъюгированных с FITC в рабочем разведении (1:200). После 30 минутной инкубации в холодильнике при +4°C трижды отмывали в PBS 5-10 минут, покрывали нефлуоресцирующей средой (50% глицерином).

Для определения экспрессии внутриклеточных биомаркеров, таких как Bcl-2, P53pan, P53mt, Bax, проводили дополнительную обработку охлажденным 1% тритоном-X-100 при +4°C в течение 1-2 минут, затем дважды отмывали в PBS. Далее цитопрепараты окрашивали и оценивали по методике, описанной выше.

Реакцию оценивали в полях с максимальной экспрессией маркеров на флуоресцентном микроскопе "Opton" при увеличении х400 в течение 24 часов после постановки, предохраняя от воздействия прямого интенсивного света.

### Иммуноферментный анализ (ABC-метод)

Экспрессию Bax в опухолевых клетках оценивали с помощью пероксидазной реакции.

После обработки цитопрепаратов охлажденным 1% тритоном-X-100 в течении 1-2 мин при +4°C, блокирование эндогенной пероксидазы проводили 3% перекисью водорода в темноте при комнатной температуре в течении 20 минут, затем отмывали дважды в PBS по 5 минут. После 20 минутной инкубации с 1% BSA наносили первичные МКАТ и инкубировали 16-18 часов в холоде при +4°C. Дважды отмывали в PBS по 5-10 минут. Для визуализации реакции применяли систему LSAB+Detection System (Dako Corp) согласно инструкции, выявление пероксидазной активности проводили с помощью 3,3-диаминобензидина (DAB). Докрашивали ядра гемотоксилином Эрлиха 1-2 минуты, отмывали, заключали в бальзам. Реакцию оценивали на световом микроскопе "Axiolab" (Zeiss, Германия). Подсчет проводили в областях с максимальным окрашиванием.

### Методика лазерной ДНК-проточной цитофлуориметрии

Для лазерной ДНК-проточной цитофлуориметрии использовали суспензию клеток, фиксированную холодным забуференным 70° этанолом (рН=7,2-7,4) (в соотношении 1:3) в течении 24 часов и более. После фиксации клетки окрашивали флуорохромом – пропидиум йодидом. Фиксированную этанолом клеточную суспензию отмывали трис-HCl-буфером (рН=7,4), центрифугируя 10 минут при 1000 об\мин. К осадку добавляли 1,0 мл трис-HCl-буфера, тщательно ресуспенсировали. Отбирали 0,4 мл суспензии и добавляли 1,0

мл красителя.

Исследование ДНК проводили на проточном анализаторе EPICS-XL (Coulter, США) с лазерным источником излучения.

### Методика анализа клеток в фазах клеточного цикла

Для характеристики степени анеуплоидии клеток опухоли с помощью компьютерных программ анализатора EPICS-XL (Coulter, США) и Multicycle (Phoenix Flow Systems, США) вычисляли индекс ДНК (ИДНК), который характеризовал отношения интенсивности флуоресценции пика анеупloidных клеток (его номер канала) к диплоидному. Диплоидными опухолями мы считали новообразования, у которых G0/1 пик находится в пределах контрольного пика диплоидных стандартов и соответственно их ИДНК всегда равен 1.0. В анеупloidных новообразованиях он был больше или меньше 1.0.

В полученной ДНК-гистограмме процент клеточных ядер с различным содержанием ДНК вычисляли по отношению к общему числу исследованных клеток с помощью компьютерной программы Multicycle (Phoenix Flow systems, США, 1994). Программа автоматически расчитывала плоидность опухоли и число клеток в S-фазе клеточного цикла.

### Статистическая обработка полученных данных

Статистическую обработку данных проводили на персональном компьютере с использованием пакета программ Statistica v5.5.A. Непараметрические данные в зависимости от количества наблюдений анализировали с использованием теста  $\chi^2$  или точного критерия Фишера. Различия считали статистически достоверными при  $p<0,05$ .

### Результаты исследования

Экспрессию онкомаркеров (CD95, Bcl-2, Bax, P53pan, P53mt) оценивали на 128 образцах РМЖ, она различалась по интенсивности и локализации окрашивания. За положительную реакцию принимали окрашивание с интенсивностью 2+/3+ более чем в 10% опухолевых клеток. Окрашивание со слабой интенсивностью и с несоответствующей локализацией относили к отрицательной реакции.

В ходе исследований установили, что наблюдается низкая экспрессия CD95 (*рис 1*). Этот маркер отсутствует в 94 случаях из 124 (75,8%), а обнаружен лишь в 30 (24,2%) случаях (*таблица 2*). Bcl-2 (*рис 2*) экспрессировался в 85 случаях из 128 (66,4%). Гиперэкспрессию Bax наблюдали в 33 случаях из 75 (44%). Положительную экспрессию P53pan (*рис 3*) и P53mt наблюдали в 42 из 119 (35,3%) и в 50 из 74 (67,6%) случаях соответственно.

При анализе экспрессии биомаркеров установили прямую корреляцию между экспрессией Bcl-2 и Bax ( $r=0,40$ ;  $p<0,05$ ), P53pan и P53mt ( $r=0,50$ ;  $p<0,05$ ), Bax и CD95 ( $r=0,33$ ;  $p<0,05$ ), P53pan и Bax ( $r=0,32$ ;  $p<0,05$ ), прямую связь между наличием уровнем рецепторов эс-

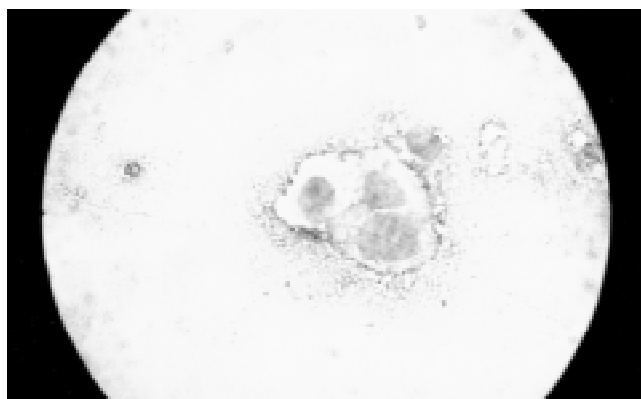


Рис. 1. Экспрессия CD95, окрашивание мембранных опухолевых клеток рака молочной железы, x400.

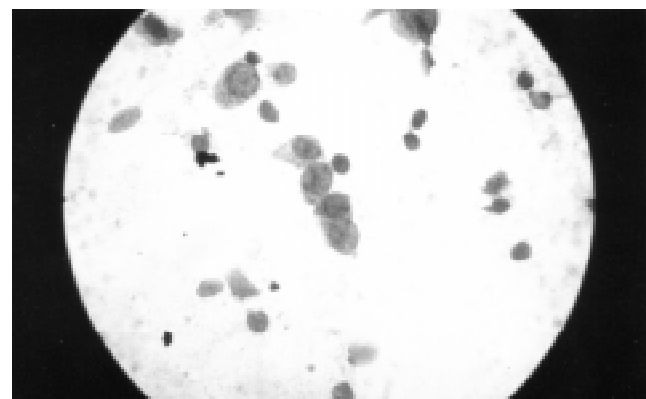


Рис. 2. Цитоплазматическое окрашивание Bcl-2 клеток рака молочной железы, x400.

Таблица 2. Экспрессия онкобелков при РМЖ

экспрессия онкобелка	уровень экспрессии		количество позитивных клеток	
	низкий	высокий	менее 50%	50% и более
CD95	■■■■■	■■■■■	■■■■■	■■■■■
Bax	■■■■■	■■■■■	■■■■■	■■■■■
P53mt	■■■■■	■■■■■	■■■■■	■■■■■
c-erbB-2	■■■■■	■■■■■	■■■■■	■■■■■

трогена и экспрессией CD95 ( $r=0,3$ ;  $p<0,05$ ). Зависимость экспрессии онкобелков от возраста и менструального статуса не наблюдали.

При анализе экспрессии биомаркеров, контролирующих апоптоз, в зависимости от TNM-стадии, в соответствии с классификацией ВОЗ (таблица 3) отмечали тенденцию увеличения экспрессии Bax в зависимости от прогрессирования заболевания ( $p=0,054$ ). При I стадии Bax экспрессировался в 1 случае из 8 (12,5%), II стадии – в 11 из 33 (38,2%), III стадии – в 17 из 28 (60,7%), IV стадии – в 2 случаях из 3 (66,7%). Отметили общую тенденцию к увеличению экспрессии P53mt в зависимости от увеличения стадии: при I стадии положительных было 8 из 12 (66,7%), а IV – 12 случаев из 14 (85,7%).

Таблица 3. Экспрессия Bax при РМЖ в зависимости от TNM-стадии

	I	II	III	IV	
—	■■■■■	■■■■■	■■■■■	■■■■■	■■■■■
+	■■■■■	■■■■■	■■■■■	■■■■■	■■■■■
—	■■■■■	■■■■■	■■■■■	■■■■■	■■■■■

"+" – положительная экспрессия; "-" – отрицательная экспрессия

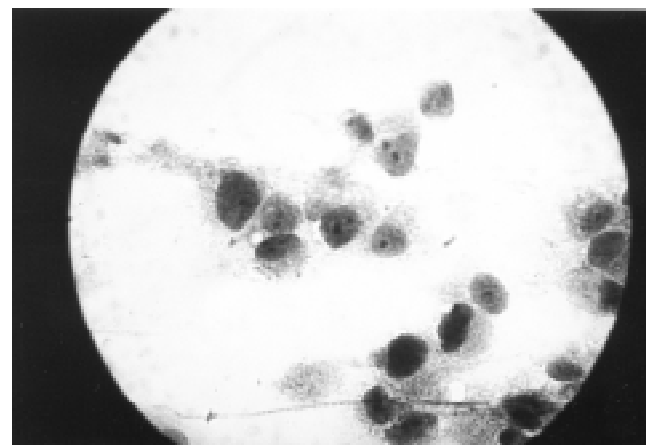


Рис. 3. Экспрессия P53, опухолевые клетки рака молочной железы окрашены с различной интенсивностью, x400.

В зависимости от стадии заболевания наблюдало достоверное различие в экспрессии CD95 ( $p=0,006$ ), Bax ( $p=0,05$ ). При чем с увеличением распространенности заболевания экспрессия Bax возрастала: с 12,5% случаев на I стадии до 66,7% на IV стадии, для экспрессии CD95 какой-либо закономерности распределения не наблюдали.

В зависимости от степени злокачественности наблюдали достоверное отличие экспрессии CD95 ( $p=0,006$ ) и Bax ( $p=0,049$ ) (таблица 4). Наблюдали возрастающий уровень экспрессии Bax с увеличением степени злокачественности при РМЖ. Для CD95 четкой зависимости нет, при низкой степени злокачественности положительную экспрессию наблюдали в 18,8% случаев, при умеренной – лишь в 6,3% случаев, при высокой – в 32,4% случаев.

При анализе данных в зависимости от метастазирования исследованный материал разделили на 2 группы: I – без метастазов, II – с метастазами (таблица 5). Отметили достоверное отличие экспрессии Bax ( $p=0,038$ ) при сравнении этих групп: с появлением метастазов увеличивается уровень экспрессии данного маркера. Так в группе без метастазов положительную экспрессию Bax наблюдали в 3 (18,8%) случаях, а в группе с метастазами – в 22 (51,2%) случаях. Экспресс-

Таблица 4. Экспрессия CD95 и Вах при РМЖ в зависимости от степени злокачественности

	I		II		III		
	+	-	+	-	+	-	
II	□	□	□	□	□	□	□
III	□	□	□	□	□	□	□
IV	□	□	□	□	□	□	□
V	□	□	□	□	□	□	□

“+” – положительная экспрессия; “-” - отрицательная экспрессия.

сию CD95 в I группе обнаруживали в 5 (12,5%) случаях, а во II группе – в 23 (30,3%) случаях ( $p=0,058$ ). Уровень Bcl-2, P53rap, P53mt в обеих группах практически не отличался (62,5% и 64,9%, 30,8% и 37,3%, 71% и 65,1% соответственно). При дальнейшем анализе экспрессии онкобелков II группу разделили на 2 подгруппы: 1 – метастазы в регионарные лимфоузлы и 2 – отдаленные метастазы (печень, легкие, кости и пр.), но каких-либо дополнительных закономерностей и взаимосвязей выявлено не было.

В зависимости от гистологической формы РМЖ отметили достоверное отличие экспрессии P53mt ( $p=0,014$ ) (таблица 6), при ИПР и ИДР экспрессию p53 наблюдали значительно чаще, чем в группе редких форм рака. При ИПР CD95 экспрессировался в 21 случае из 82 (25,6%), Bcl-2 – в 57 случаях из 85 (67,1%), Вах – в 17 случаях из 44 (40%), P53rap – в 28 из 79 (35,4%), P53mt – в 36 случаях из 56 (68,3%). При ИДР CD95 экспрессировался лишь в 4 случаях из 18 (22,2%), положительную экспрессию Bcl-2 отмечали в 14 случаях из 19 (73,7%), Вах – в 7 случаях из 12 (58,3%), P53rap – в 4 из 16 (25%), P53mt – в 5 случаях из 7 (71,4%). В группе редких форм рака молочной железы CD95 экспрессировался в 4 случаях из 21 (19%), Bcl-2 – в 14 из 24 (58,3%), Вах – в 7 из 16 (43,7%), P53rap – в 8 случаях из 21 (38,1%), P53mt – в 2 случаях из 11 (18,2%).

В дальнейшем анализировали экспрессию онкобелков внутри групп, разделенных по гистологической форме РМЖ. В группе ИПР экспрессия CD95 различалась в зависимости от степени злокачественности, но статистической достоверности достигнуто не было ( $p=0,073$ ). В данной группе экспрессия Вах подчинялась тенденции, обнаруженной при анализе всех случаев, т.е., увеличение экспрессии Вах при прогрессировании заболевания ( $p=0,062$ ). Анализ экспрессии P53rap в зависимости от степени злокачественности показал, что между I и II степенью различий нет, а между II и III – наблюдали статистически значимые различия ( $p=0,04$ ), при увеличении злокачественности возрастает экспрессия P53rap. Анализ экспрессии онкобелков при ИДР и редких формах рака в зависимости от стадии заболевания и степени злокачественности, достоверных различий не показал.

Эстрогенположительных опухолей было 74 случая (57,8%), а эстрогенотрицательных – 54 случая (42,2%). При анализе экспрессии онкобелков в зависимости от гормонального статуса не было обнаружено статистически достоверных различий.

Таблица 5. Экспрессия CD95 и Вах при РМЖ в зависимости от наличия метастазов

Стадия	Экспрессия	Количество случаев				
		без метастазов	с метастазами	без метастазов	с метастазами	
I	+	□	□	□	□	□
	-	□	□	□	□	
II	+	□	□	□	□	□
	-	□	□	□	□	
III	+	□	□	□	□	□
	-	□	□	□	□	

Таблица 6. Экспрессия в зависимости от формы РМЖ

		ПИР		ИДР		
		без метастазов	с метастазами	без метастазов	с метастазами	
I	+	□	□	□	□	□
	-	□	□	□	□	
II	+	□	□	□	□	□
	-	□	□	□	□	

Диплоидных опухолей было 43 образца (40,6%), анеуплоидных – 63 образца (59,4%). Увеличение анеуплоидии наблюдали при увеличении распространенности процесса и злокачественности опухоли. При анализе зависимости пloidности опухолевых клеток и стадии установили достоверное различие ( $p=0,048$ ) между этими параметрами. При прогрессировании и распространении опухолевого процесса увеличивается количество анеуплоидных опухолей ( $p=0,025$ ) (таблица 7).

При ИПР наблюдали большее количество анеуплоидных опухолей (66,2%), чем при других гистологических формах ( $p=0,027$ ) (таблица 8). При ИДР обнаруживали больше диплоидных случаев (71,1%), при редких формах рака количество диплоидных и анеуплоидных опухолей было примерно поровну. В ИПР эстрогенположительные опухоли были диплоидными в 10 случаях (23,8%), анеуплоидными – в 32 случаях (76,2%); эстрогенотрицательные опухоли были диплоидными в 14 случаях (45,2%), анеуплоидными – в 17 случаях (54,8%) ( $p=0,078$ ).

Анализ взаимосвязи пloidности и метастазирования внутри одной гистологической группы показал, что в группе ИПР без метастазов диплоидных опухолей насчитывали 13 случаев (50%), анеуплоидных – 13

Таблица 7. Плоидность при РМЖ в зависимости от метастазирования

л□	л□□□		л□□□		□□□		□
	□□	□□	□□	□□	□□	□□	
л□□□	□□□	□□□	□□□	□□□	□□□	□□□	□□□□□
□□ л□□	□□	□□□□	□□□□	□□□□	□□□□	□□□□	□□□

(50%); в группе с метастазами диплоидных было 12 (25%), анеуплоидных – 36 (75%) ( $p=0,04$ ). В группе ИДР и редких форм достоверных отличий не обнаружили.

Анализ экспрессии онкобелков в группе диплоидных опухолей молочных желез в зависимости от степени злокачественности показал, что есть тенденция к повышению уровня экспрессии Bax и P53mt ( $p=0,042$  и  $p=0,042$  соответственно) с ростом злокачественности. В диплоидных опухолях увеличивалась экспрессия P53rap в зависимости от стадии ( $p=0,037$ ), а экспрессия CD95 снижалась ( $p=0,059$ ). Экспрессия CD95 в анеуплоидных опухолях достоверно снижалась в зависимости от роста степени злокачественности ( $p=0,016$ ).

### Обсуждение

Нарушение экспрессии онкогенов оказывает существенное влияние на нормальное развитие организма и его гомеостаз, а также вовлечено в различные патологические процессы, включая рак. Поэтому в настоящее время все больше работ посвящено детальному изучению их функционирования и экспрессии соответствующих белков.

Bcl-2 подавляет апоптоз в клетках и его соотношение с проапоптотическим гомологом Bax является важной определяющей клеточной чувствительности к индукции апоптоза. По данным литературы высокая экспрессия Bcl-2 ассоциируется с низким уровнем апоптоза ( $p<0,001$ ), Bax не коррелирует с Bcl-2, а высокий уровень пролиферации и высокая степень злокачественности связаны с отсутствием экспрессии Bcl-2 ( $p<0,001$ ) (van Slooten, 1996). По нашим данным существует корреляция между Bcl-2 и Bax ( $r=0,40$ ;  $p<0,05$ ).

R.Silvestrini и соавторы (1994) указывали на взаимосвязь между Bcl-2-экспрессией и размером опухоли ((2 и (2) ( $p=0,01$ ). Van Slooten и соавторы (1996) установили обратную корреляцию между высокой Bcl-2-экспрессией и большими размерами опухоли ( $p=0,006$ ). В отличии от других авторов (R.Silvestrini, 1994; van Slooten, 1996; Steck, 1996; Joosens, 1998), нам не удалось подтвердить связь между экспрессией Bcl-2, эстрогеновыми рецепторами, степенью злокачественности и размером опухоли.

Некоторые литературные данные указывают на связь между экспрессией Bax и стадией ( $p<0,001$ ), эстрогеновым статусом ( $p<0,001$ ), а также о незначительной взаимосвязи с метастазами в лимфоузлы (C.Binder, 1996). По этим же данным нет связи между Bax и различными гистологическими типами и размером опухоли. Нами же установлена зависимость между

Таблица 8. Распределение плоидности в зависимости от формы РМЖ

ПИР	ПИР		ПИР		□
	□□□□□□□□	□□□□□□□□	□□□□□□□□	□□□□□□□□	
□□□□□□□□	□□□□□□□□	□□□□□□□□	□□□□□□□□	□□□□□□□□	□
□□□□□□□□	□□□□□□□□	□□□□□□□□	□□□□□□□□	□□□□□□□□	□□□□

ду экспрессией Bax и стадией ( $p=0,05$ ), степенью злокачественности ( $p=0,05$ ), наличием метастазов ( $p=0,038$ ); обнаружена прямая корреляция между экспрессией Bax и CD95 ( $r=0,33$ ;  $p<0,05$ ).

Анализируя экспрессию P53rap, мы обнаружили прямую связь с количеством пораженных лимфоузлов ( $r=0,32$ ;  $p<0,05$ ), экспрессией Bax ( $r=0,32$ ;  $p<0,05$ ) и P53mt ( $r=0,50$ ;  $p<0,05$ ). Экспрессия P53mt также коррелировала с количеством пораженных лимфоузлов ( $r=0,46$ ;  $p<0,05$ ).

По одним данным литературы нет достоверной связи P53 с возрастом, гистологической формой, размером, стадией (E.Ioachim, 1998; S.Regele, 1999), по другим — P53 коррелирует со стадией и степенью злокачественности ( $p=0,002$  и  $0,0025$ ) (Ioakim-Liossi, 1998; Hardy-Bessard, 1998). В работе van Slooten и соавт. (1996) установлены негативную корреляцию между экспрессией P53 и Bcl-2.

Ioakim-Liossi (1997) утверждал о корреляции плоидности с гистологической формой и клинической стадией ( $p(0,001$  и  $0,05$ ); R.Silvestrini (1993) указывал на достоверность связи плоидности с размерами опухоли ( $p=0,03$ ) и эстрогеновыми рецепторами ( $p=0,05$ ). В нашей работе установлена зависимость плоидности и стадии заболевания ( $p=0,048$ ), плоидности и наличия метастазов ( $p=0,025$ ), плоидности и гистологической формы ( $p=0,027$ ).

В заключении следует отметить, что анеуплоидия, увеличение экспрессии Bax и P53, снижение экспрессии CD95 являются показателями агрессивности опухолевого процесса. Опухолям молочных желез с такими параметрами необходимо уделять более пристальное внимание.

### Список литературы

1. Двойрин В.В., Аксель Е.М., Трапезников Н.Н. Заболеваемость и смертность от злокачественных новообразований населения России и некоторых других стран СНГ в 1993г.// Москва, 1995.
2. Имянитов Е.Н., Князев П.Г. Активация онкогена ERB-b-2 и прогноз течения рака молочной железы у человека.// Вопр. онкологии, 1991, т.37, №5, С.527-534.;
3. Летягин В.П. Лечение первичного рака молочной железы, отдаленные результаты.// Терапевт.архив, 1992, т.64, №10, С.33-37.;
4. Albanell M., Belluht M., Sole S. Factores prognosticos del cancer de mama con ganglios negativos.// Med.Clin., 1992, V.99, N 17, P.668-674.;

5. Binder C., Hiddemann W. Programmt cell death - many questions still to be answered // Ann. Hematol. 1994, **V.69**, №1, P. 45-55.
6. Binder C., Marx D., Binder L., et al. Expression of Bax in relation to Bcl-2 and other predictive parameters in breast cancer. // Annals of Oncology, 1996, **V7**, P.129-133..
7. Eriksson E.T. Immunohistochemical expression of the mutant p53 protein and nuclear DNA content during the transition from benign to malignant breast disease. // Human Pathol., 1994, **V.25**, N11, P.1228-1233.,
8. Evan G.I., Wyllie A.H., Gilbert C.S., et al.// Cell. 1992, **V.69**, P.119-128.
9. Fernandes-Alhemri T., Litwack G., Alnemri E.S.// J.Biol.Chem. 1994, V.269, P.30761-30764.
10. Garne J.P., Aspegren K., Linell F. Primary prognostic factors in invasive breast cancer with special reference to ductal carcinoma and histologic malignancy grade. // Cancer, 1994, **V.73**, N5, p.1438-1448.
11. Hardy-Bessard A.C., De Roquancourt A., De Cremoux P., et al. Prognostic value of p53 and Her-2 (over) expression in premenopausal women with node negative breast cancer prospectively treated with no or adjuvant CMF. // Annals of Oncology, 1998 **V.9**, supp 4.
12. Ioacim E., Skopelitou A., Kamina S., et al. p53 protein expression in human breast cancer: an immunohistochemical study including correlation with steroid receptor status, proliferation indices, collagen type IV, laminin, C-erbB2 oncoprotein and cathepsin. // D. Off. J. of the European Society of Mastology the Breast. 1998. **V.7**, p.42-48.
13. Ioakim-Liossi A., Karakitsos P., Aroni K., et al. p53 Protein expression and DNA ploidy in common epithelial tumors of the ovary. // Acta Cytol, 1997; **V41**, P.1714-1718.
14. Ioakim-Liossi A., Markopoulos C., Karakitsos P., et al. P53 Protein Expression in Benign and Malignant Breast Lesions. // Acta Cytol, 1998; **V.42**, P.918-922.
15. Joosens E., Makar A., Van Leuven H., et al. Bcl-2 expression and apoptosis in ductal breast cancer. // Annals of Oncology, 1998, **V.9**, supp. 4.
16. Keiichi I., Hitachi T., Hiraide H., et al. Nuclear p53 immunoreaction associated with poor prognosis of breast cancer. // Jap.J.Cancer Res., 1991, **V.82**, N 7, P.835-840.
17. Kommos F., Pfisteres J., Idris T. Steroid receptors in carcinoma of the breast: Results of immunocytochemical and biochemical determination and their effects on short-term prognosis. // Anal.Quant.Cytol.Histol, 1994, **V.16**, N3, P.203-210.
18. O'Reilly S.M., Camplejohn R.S., Barnes D.M., Milis R.R., Allen D., Rubens R.D., Richards M.A. DNA index, S-phase fraction, histological grade and prognosis in breast cancer. // Br.J.Cancer, 1990, **V.61**, N5, P.671-674.
19. Raju U., Zarbo R.J., Kubus J., Schultz D.S. The histologic spectrum of apocrine breast proliferations: A comparative study of morphology and DNA content by Image analysis. // Hum-Pathol, 1993, **V.24**, N2, P.173-181.
20. Regele S., Kohlberger P., Vogl F.D., et al. Serum p53 autoantibodies in patients with minimal lesions of ductal carcinoma in situ of the breast. // Br.J. Cancer, 1999, **V.81**, P.702-704.
21. Sellers H.T., Bunken S.W., Crowe D.R., Conner M.M. Multivariate analysis of clinical and molecular prognostic factors in breast cancer: a 16-year follow-up. // South.Med, 1994, **V.87**, N9, P.117.
22. Silvestrini R., Daidone M.G., et al. Prognostic significance of proliferative activity and ploidy in node-negative breast cancer. // Annals of Oncology, 1993, **V.4**, P.213-219.
23. Silvestrini R., Veneroni S., Daidone M.G., et al. The bcl-2 protein: A prognostic indicator strongly related to p53 in lymph nodenegative breast cancer patients. // J.Nat.Cancer Inst, 1994, **V.86**, P.499-504.
24. Stek K., McDonnelly T., Sneige N., El-Naggar A. Flow cytometric analysis of apoptosis and bcl-2 in primary breast carcinomas: Clinical and biological implications. // Cytometry, 1996, **V.24**, N 2, P.116-122.
25. Van Slooten H-J., Clahnen P.C., van Dierendonck J.H., et al. Expression of bcl-2 in node-negative breast cancer is associated with various prognostic factors, but does not predict response to one course of perioperative chemotherapy. // Br J Cancer, 1996, **V.74**, P.78-85.
26. Yonish-Rouash E., Grunwald D., Wilder S. et al. P53-mediated cell death: relationship to cell cycle control. // Mol Cell Biol, 1993, **V.13**, P.1415-1423.